

# Modellierung mit FEM

## Kapitel 6: Genauigkeit der FE-Methode

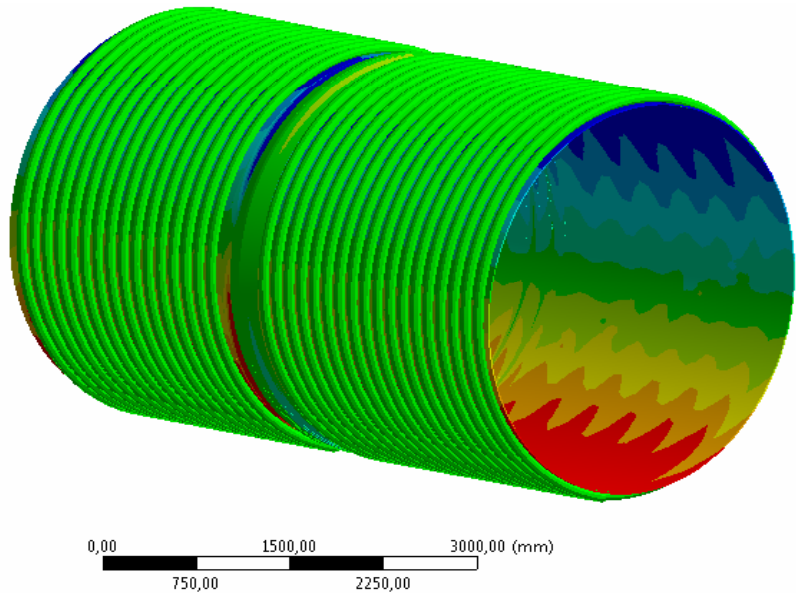
Prof. Dr.-Ing. Thomas Grätsch  
Department Maschinenbau und Produktion  
Fakultät Technik und Informatik  
Hochschule für Angewandte Wissenschaften Hamburg

[thomas.graetsch@haw-hamburg.de](mailto:thomas.graetsch@haw-hamburg.de)

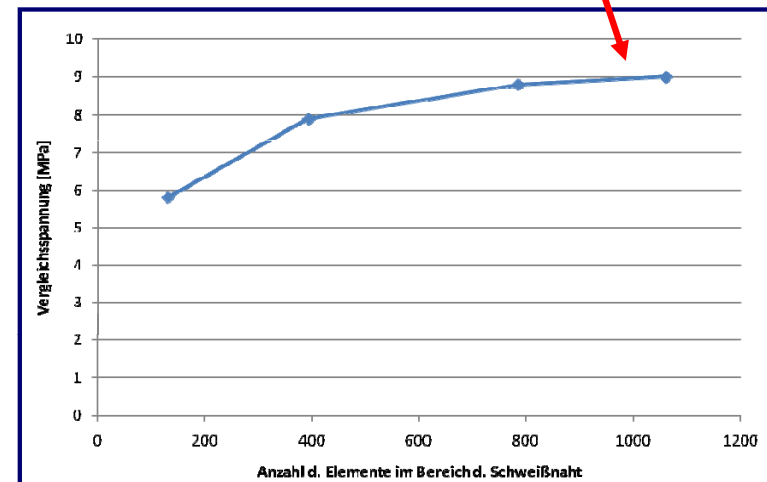
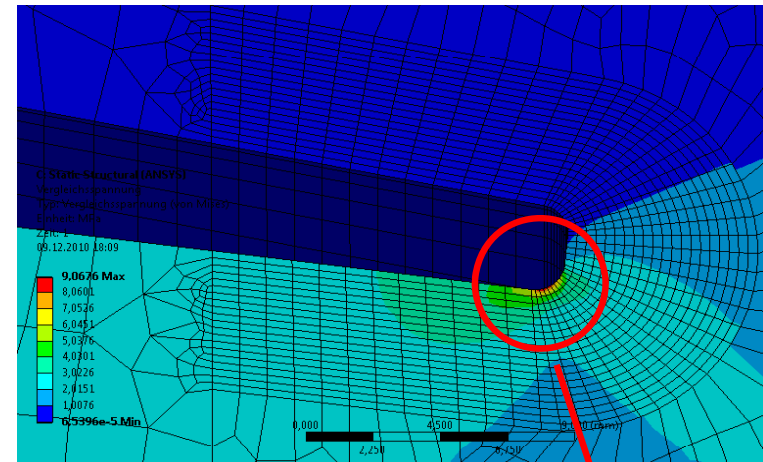
# Hinweise zum Vernetzen

- FE-Ergebnisse sollten stets netzunabhängig sein, d.h. eine Konvergenzstudie muss ergeben, dass eine weitere Verfeinerung die Ergebnisse nicht weiter verändert (Ausnahme: Singularitäten, siehe Kap. 5)
- FE-Spannungen sollten so 'glatt' wie möglich verlaufen, d.h. es sollen keine großen Spannungssprünge zwischen den Elementen sichtbar sein
- Achtung: Zur Kontrolle nicht die bereits geglätteten Spannungen ausgeben lassen, sondern die echten FE-Spannungen („raw stresses“)
- Mit diesen Maßnahmen werden automatisch ausreichende Netzfeinheiten an Spannungskonzentrationen erreicht (Lasteinleitungen, Radien, Umlenkungen, Wechsel in Material- oder Lagerbedingungen etc.)

# Beispiel zur Konvergenzstudie

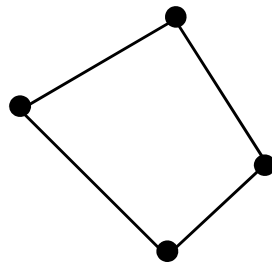


Konvergenzstudie für Spannungen  
im Schweißnahtbereich

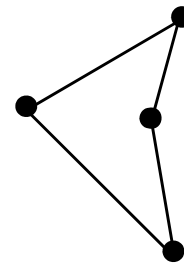


# Weitere Hinweise zum Vernetzen

- Elemente sollten nicht zu stark verzerrt sein, Kriterien der FE-Solver und Vernetzer sind stets zu beachten



Verzerrung ok



zu starke Verzerrung

- An Stellen, an denen eine hohe Genauigkeit in den Spannungen benötigt werden, möglichst fein im Vergleich zur Umgebung vernetzen (s. später)
- An Kopplungspunkten zweier Bauteile (z.B. bei Kontakt oder „Klebung“) möglichst knotenkoinzident vernetzen, siehe auch Kap. 7

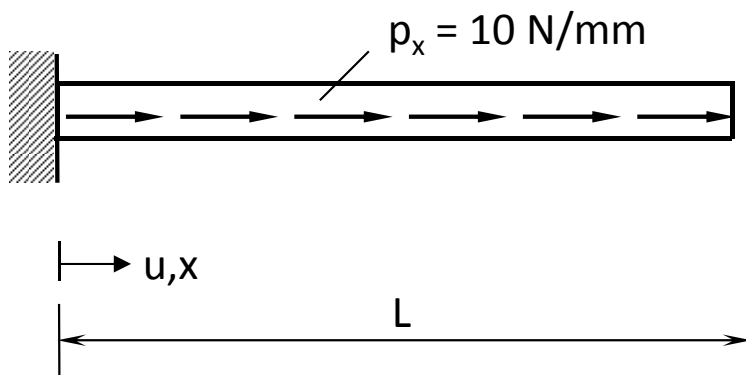
# Spezielle Hinweise zum 3D-Vernetzen

- Einfache Geometrien
  - möglichst HEXA-Elemente verwenden
  - HEXA8-Elemente bevorzugen (statt HEXA27- oder HEXA20-Elemente)
  - PENTA-Elemente nur zum Auffüllen
  - mind. 2 HEXA8-Elemente über die Dicke bei dünnwandigen Bauteilen
- Komplexe Geometrien
  - TET10-Elemente verwenden (mit automatischem Vernetzer)
  - TET4-Elemente vermeiden
  - 1-2 TET10-Elemente über die Dicke bei dünnwandigen Bauteilen

# Der Fehler der finiten Elemente

Neue Interpretation: Die FE-Lösung ist zwar eine Näherungslösung, sie ist jedoch die exakte Lösung eines anderen Lastfalls!

Beispiel:



$$E = 2,1 \cdot 10^5 \text{ N/mm}^2$$

$$A = 30 \text{ mm}^2$$

$$L = 1000 \text{ mm}$$

$$\text{DGL: } -EAu'' = p_x$$

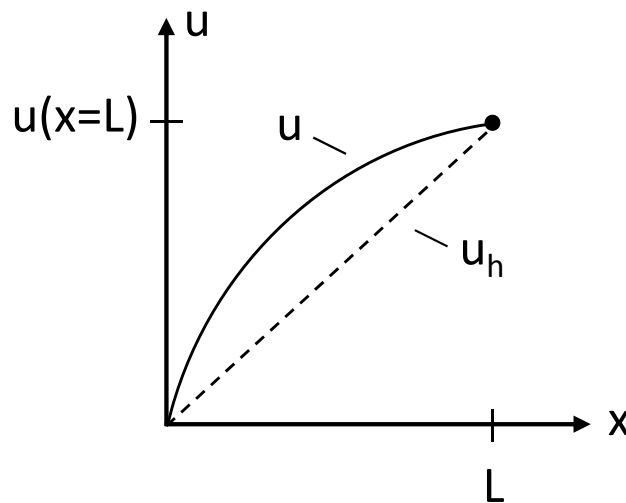
$$\text{RB: } u(x=0) = 0; N(x=L) = 0 \text{ mit } N = EAu'$$

$$\text{Exakte Lösung: } u(x) = p/EA \cdot (-x^2/2 + xL)$$

$$\text{FE-Lösung (1 El.): } u_h(x) = p/EA \cdot xL/2$$

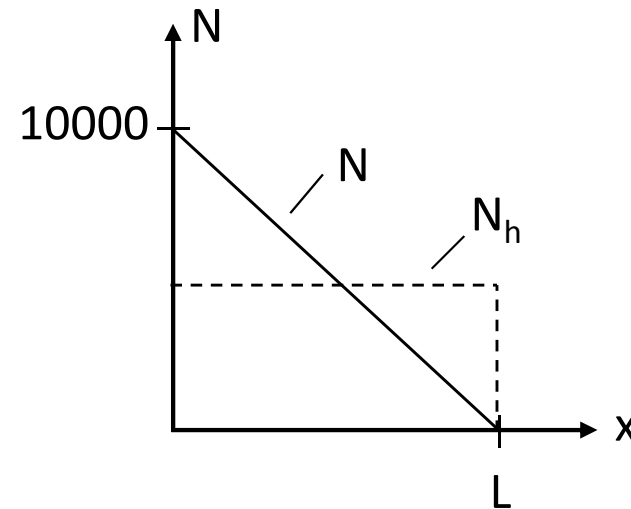
# Der Fehler der finiten Elemente

Vergleich exakte Lösung / FE-Lösung:



$$u(x) = p/EA \cdot (-x^2/2 + xL)$$

$$u_h(x) = p/EA \cdot xL/2$$



$$N(x) = 10000 - 10x$$

$$N_h(x) = 5000$$

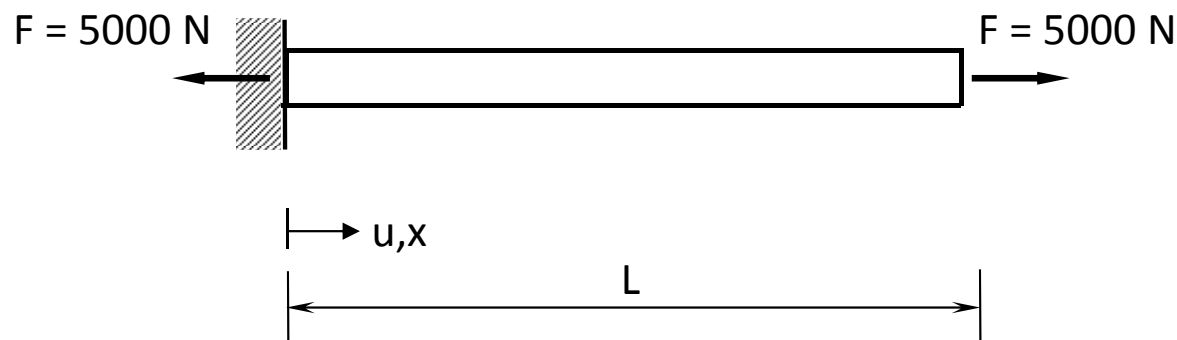
# Der Fehler der finiten Elemente

Einsetzen der FE-Lösung in die DGL und den Randoperatoren:

$$-EAu_h'' = 0$$

$$EAu_h'(x) = pl/2 = 5000 \Rightarrow N(x=0) = N(x=L) = 5000$$

Die FE-Lösung ist somit die exakte Lösung des folgenden Lastfalls:





# Der Fehler der finiten Elemente

Anmerkungen:

- Der FE-Lastfall ist offenbar im Gleichgewicht (gilt immer)
- Der FE-Lastfall entspricht den äquivalenten Knotenkräften (gilt nur bei 1D-Problemen)
- Bei 2D- oder 3D-Problemen erhält man den FE-Lastfall ebenfalls durch Einsetzen der FE-Lösung in die DGL und Randoperatoren
- Dieser besteht in der Regel dann aus Flächen- bzw. Volumenlasten sowie Kantenlasten und entspricht somit nicht den äquivalenten Knotenkräften

# Der Fehler der finiten Elemente

## Bsp. Scheibe:

- Elementweises Einsetzen der FE-Lösung in die Gleichgewichtsbedingungen liefert Elementlasten, vgl. Kap. 3, S.14:

$$\frac{\partial \sigma_{h,xx}}{\partial x} + \frac{\partial \tau_{h,yx}}{\partial y} = -p_{h,x}$$
$$\frac{\partial \tau_{h,xy}}{\partial x} + \frac{\partial \sigma_{h,yy}}{\partial y} = -p_{h,y}$$

- Einsetzen in die Cauchy-Formel liefert Kantenlasten, vgl. Kap. 3, S.15:

$$\boldsymbol{\sigma}_h \cdot \mathbf{n} = \mathbf{t}_h$$

- FE-Lastfall aus Berechnung von  $p_h$  und  $t_h$  über alle Elemente und Kanten

# Beispiele zum FE-Lastfall

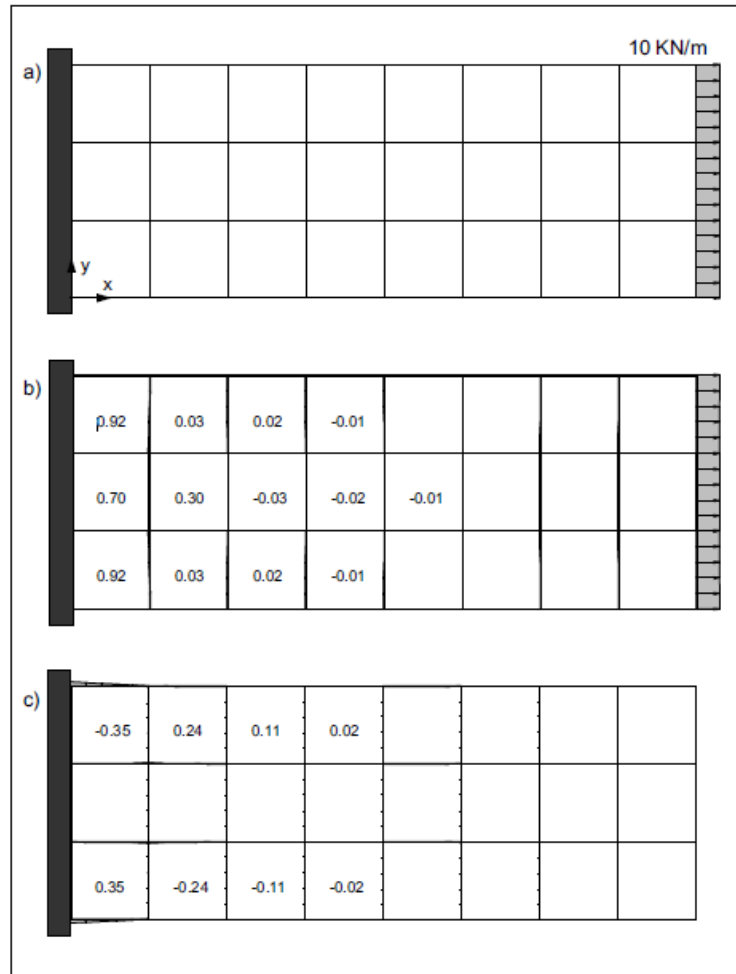


Abb. 5.1: Beispiel Zugscheibe: a) Originallastfall, b) FE-Lastfall (horizontaler Anteil), c) FE-Lastfall (vertikaler Anteil)

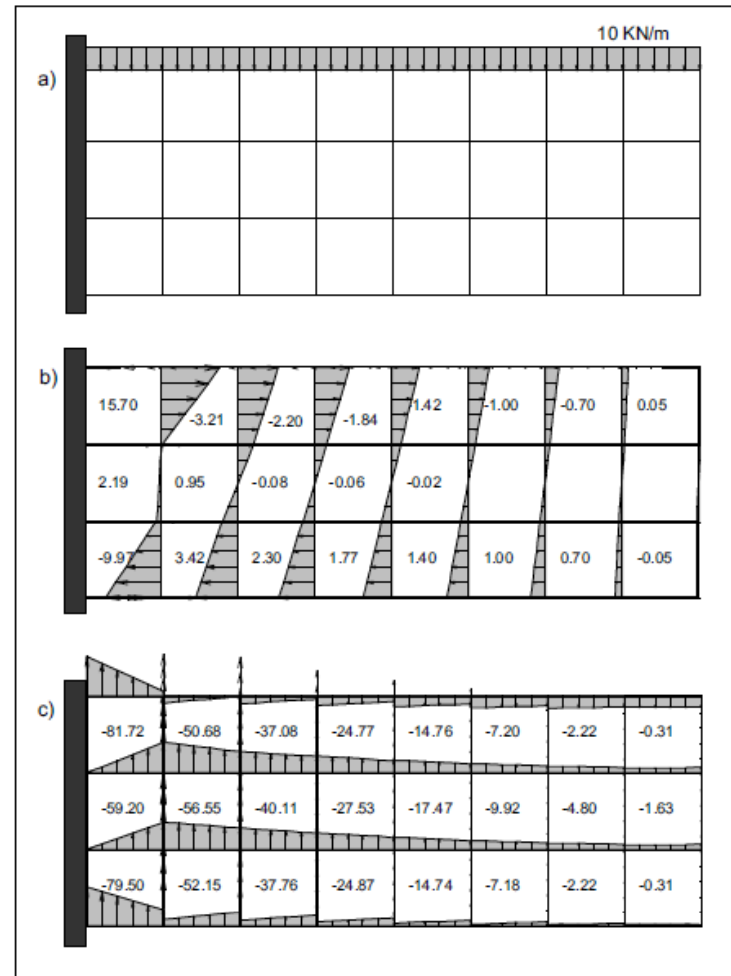


Abb. 5.2: Beispiel Kragsscheibe: a) Originallastfall, b) FE-Lastfall (horizontaler Anteil), c) FE-Lastfall (vertikaler Anteil)

# Beispiele zum FE-Lastfall

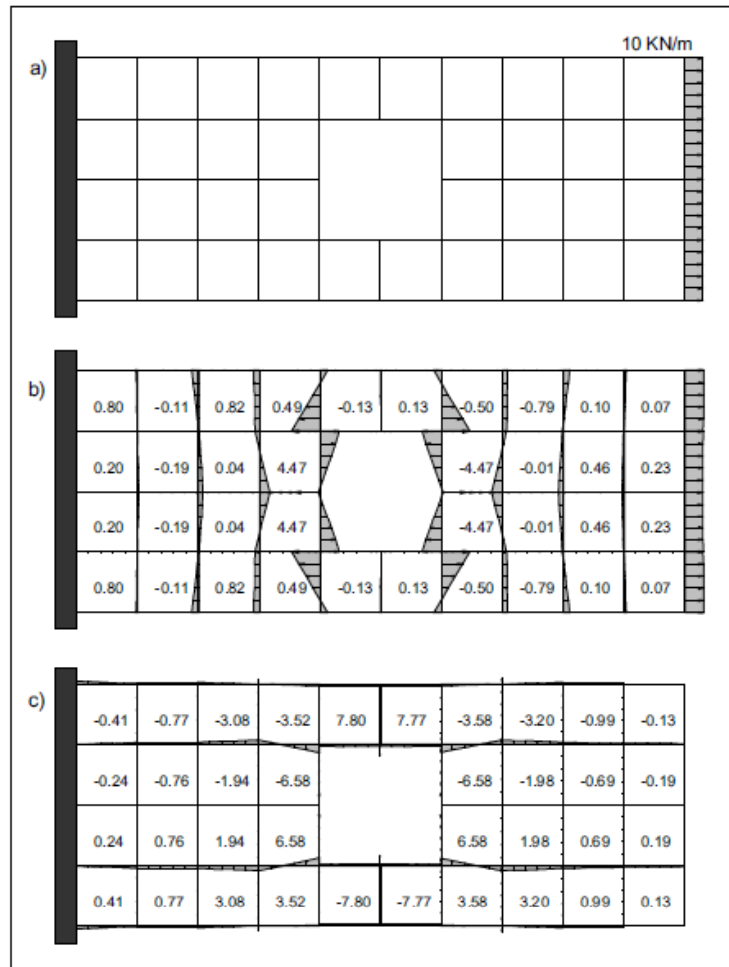


Abb. 5.3: Beispiel Zugscheibe mit Öffnung: a) Originallastfall, b) FE-Lastfall (horizontaler Anteil), c) FE-Lastfall (vertikaler Anteil)

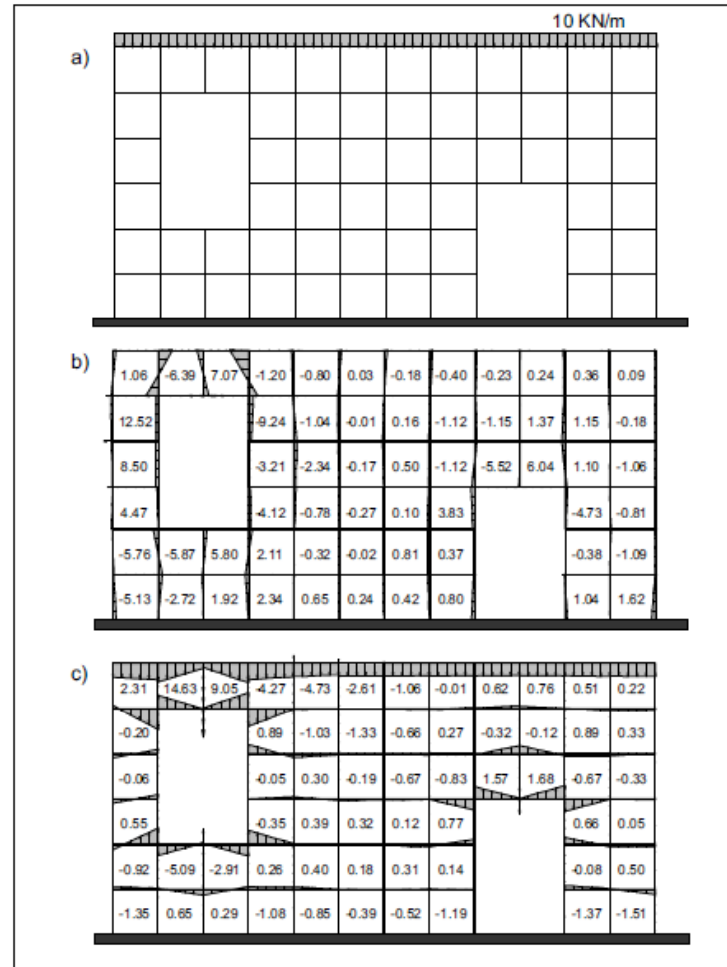


Abb. 5.4: Beispiel gegliederte Wandscheibe: a) Originallastfall, b) FE-Lastfall (horizontaler Anteil), c) FE-Lastfall (vertikaler Anteil)

# Beispiele zum FE-Lastfall

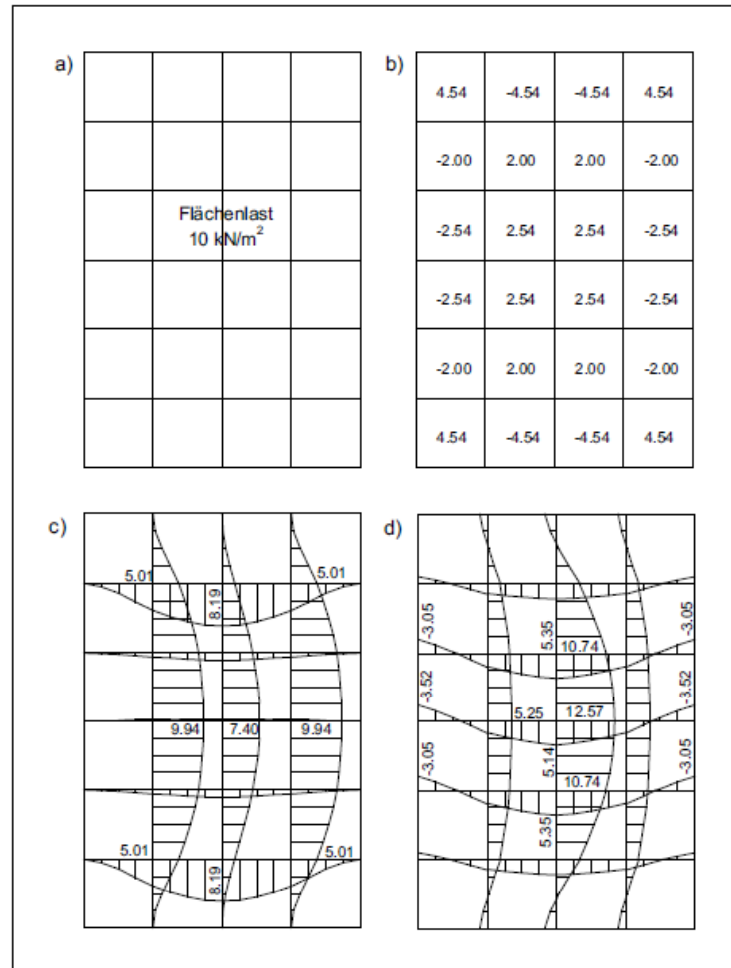


Abb. 5.6: Beispiel allseitig eingespannte Platte: a) Originallastfall, b) FE-Lastfall, Elementlasten  $p$ , c) Kirchhoffschub  $v_n$ , d) Momente  $m_n$

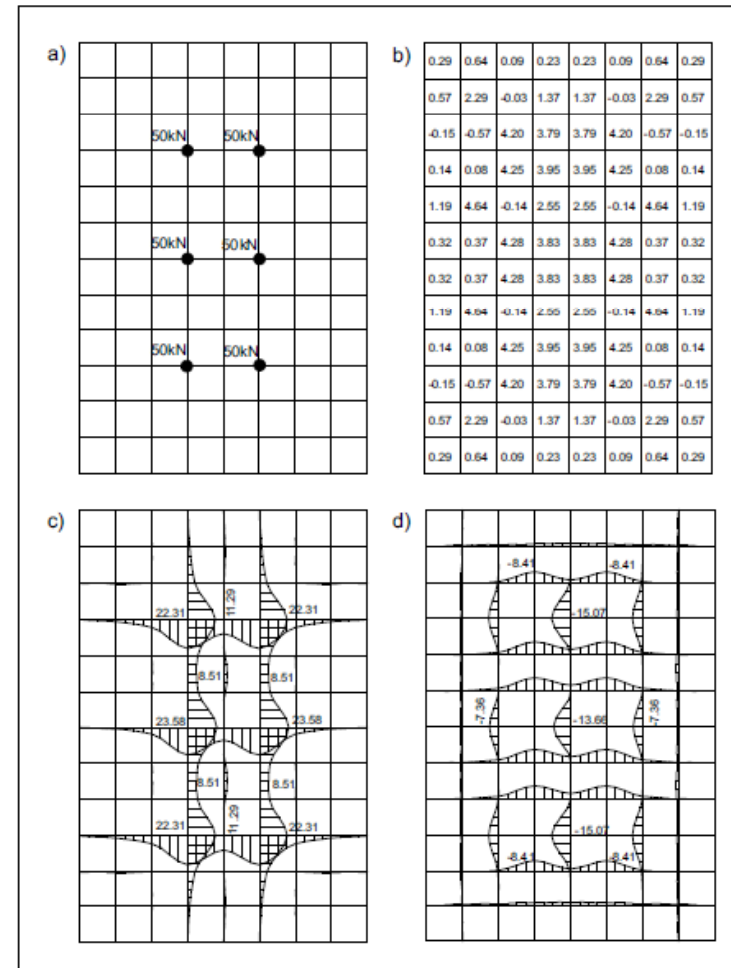


Abb. 5.7: Beispiel gelenkig gelagerte Platte: a) Lastfall SLW 30, b) FE-Lastfall, Elementlasten, c) Kirchhoffschub (positiv), d) Kirchhoffschub (negativ)

# Beispiele zum FE-Lastfall

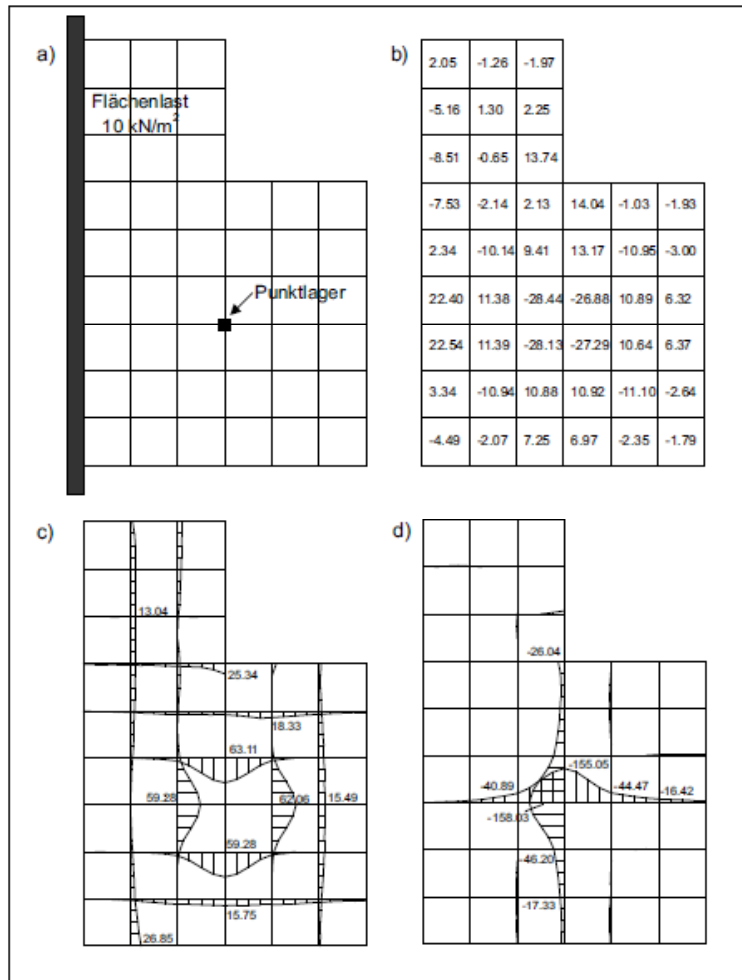


Abb. 5.8: Beispiel Kragplatte mit Punktlager: a) Originallastfall, b) FE-Lastfall, Elementlasten, c) Kirchhoffschub (positiv), d) Kirchhoffschub (negativ)

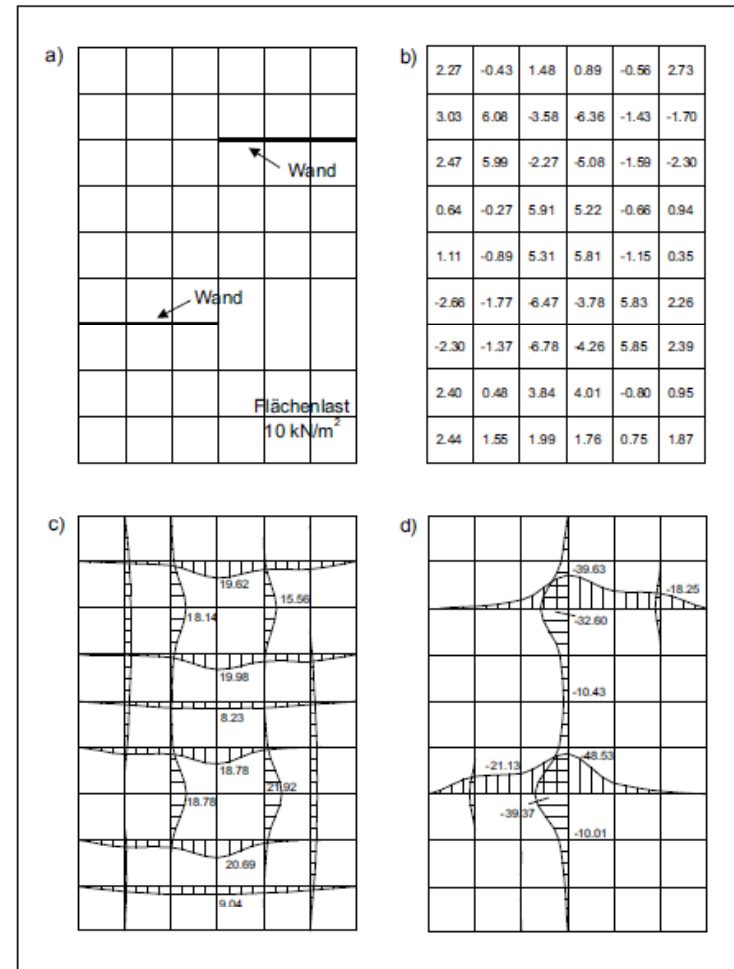


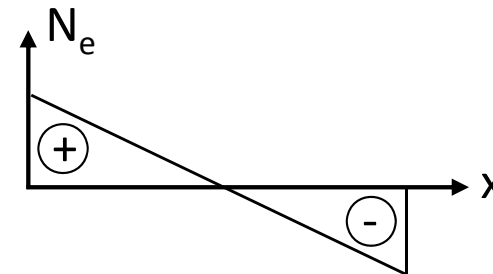
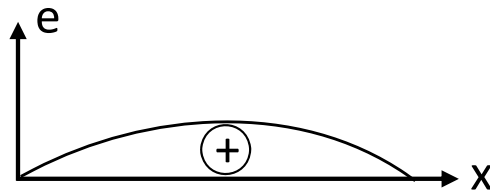
Abb. 5.9: Beispiel Platte mit Wänden: a) Originallastfall, b) FE-Lastfall, Elementlasten, c) Kirchhoffschub (positiv), d) Kirchhoffschub (negativ)

# Fehleranalyse

Fehler in den Verschiebungen:  $e := u - u_h$

Fehler in den Spannungen:  $N_e := N - N_h$

Aus Linearität der DGL folgt:  $N_e = EAe'$



Frage: Welches globale Fehlermaß ist zu verwenden?

Ein Ausdruck wie  $\int_0^L (N - N_h) dx = 0$  ist offenbar nicht zielführend

# Fehleranalysis

Einführung der sog. Energienorm:  $\|u\|_E := \sqrt{\int_0^L \frac{N^2}{EA} dx}$

Fehler in der Energienorm somit:  $\|e\|_E := \sqrt{\int_0^L \frac{(N - N_h)^2}{EA} dx}$

## Anmerkungen

- In der Praxis ist der Fehler in der Energienorm meist nicht berechenbar, da die exakte Lösung nicht bekannt ist
- Stattdessen wird der Fehler nur noch abgeschätzt  
 $\Rightarrow$  „A posteriori Fehlerschätzung“



# Fehleranalysis

Verwendung der Differenz aus dem Originallastfall und dem FE-Lastfall:

$R := p - p_h$  (Fehlerlasten im Elementinnern:  $R = \text{„Residual“}$ )

$J := t - t_h$  (Fehlerlasten an den Kanten:  $J = \text{„Jumps“}$ )

Formel zur Fehlerabschätzung:

$$\|e\|_E^2 \leq \sum_{El.} \left\{ c_1 h^2 \|R\|^2 + c_2 h \|J\|^2 \right\} = \sum_{El.} \eta_E^2$$

$h$  = Elementdurchmesser;  $c_1, c_2$  = (unbekannte) Konstanten

Strategien:

h-Adaption: Verfeinere das Netz lokal dort, wo  $\eta_E$  groß ist

p-Adaption: Erhöhe den Polynomgrad lokal dort, wo  $\eta_E$  groß ist

# Beispiele zur h-Adaption

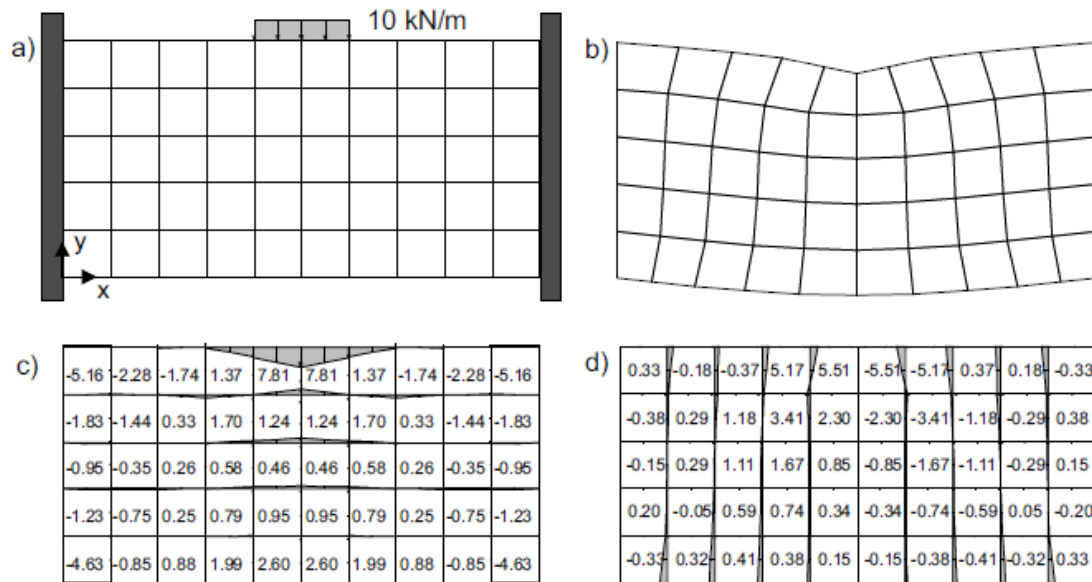
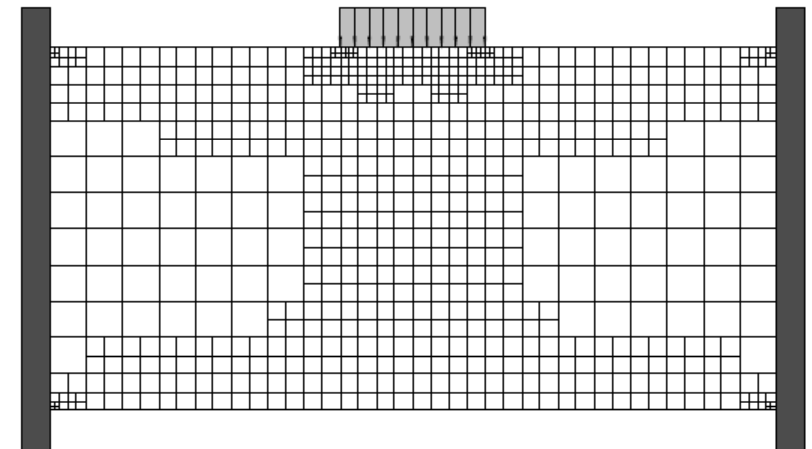
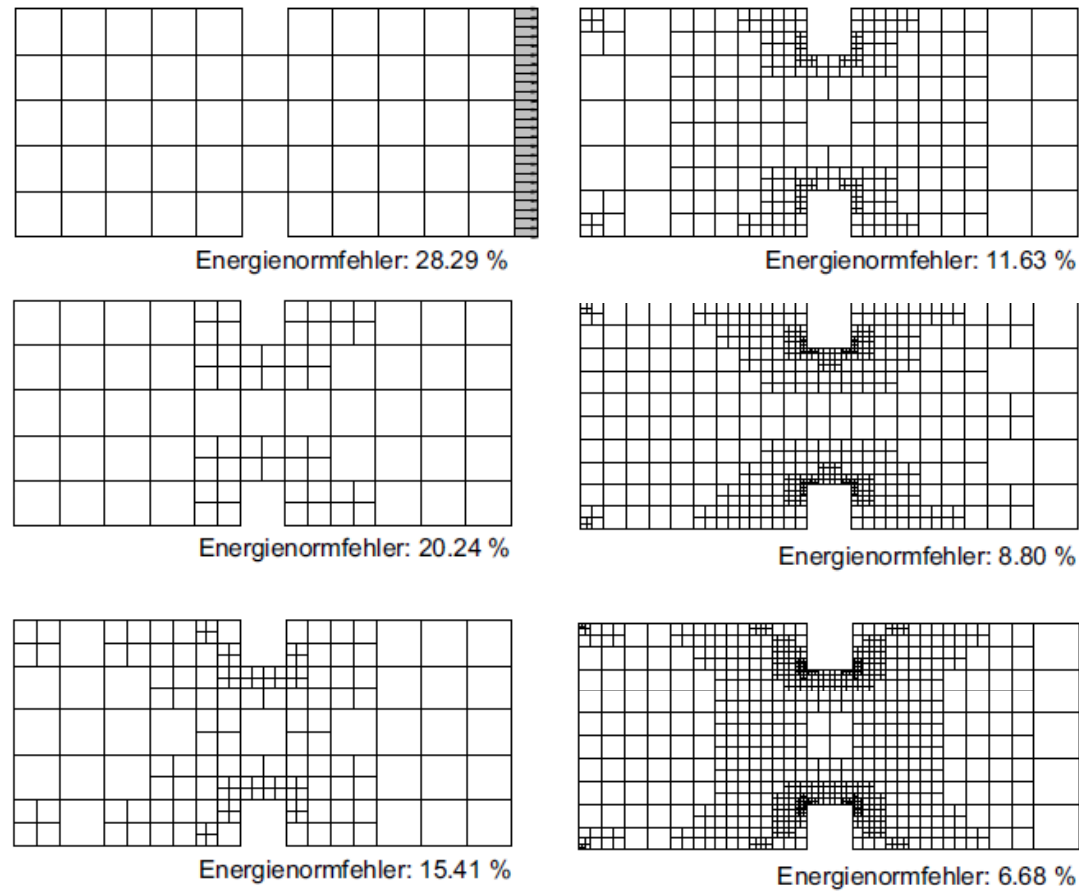


Abb. 3.2: Eingespannter Biegeträger: a) System und Belastung, b) Deformation, c) FE-Lastfall  $p_h$  (vertikaler Teil), d) FE-Lastfall  $p_h$  (horizontaler Teil)

Ergebnis der h-Adaption:



# Beispiele zur h-Adaption



Iteratives Wiederholen der  
h-Adaptionsstrategie

Abb. 5.18: Adaptive Netzverfeinerung für eine Zugscheibe mit Einkerbungen

# Fehleranalysis

Weitere Ansätze zur Fehlerabschätzung:

Mittelwertbildung der Spannungssprünge als 'quasi-exakte'-Lösung:

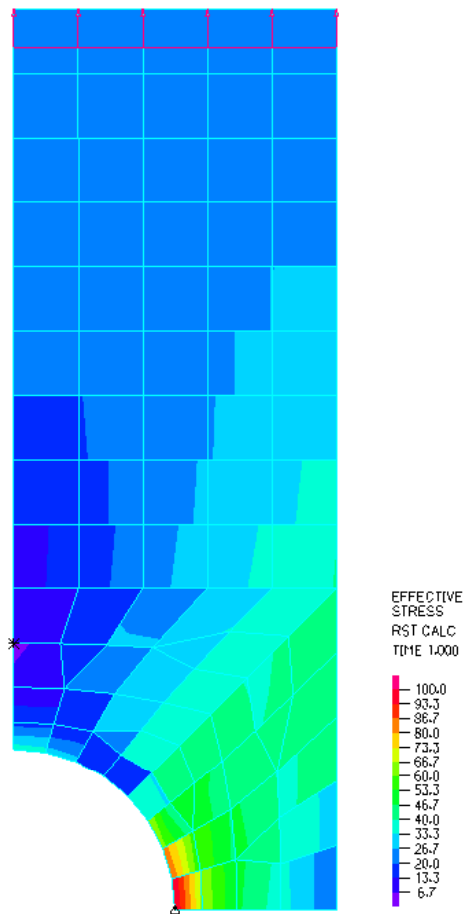
$$\|e\|_E \approx \sqrt{\int_0^L \frac{(N_h^* - N_h)^2}{EA} dx} \quad \text{mit } N_h^* \text{ als gemittelte Spannung}$$

## Anmerkungen

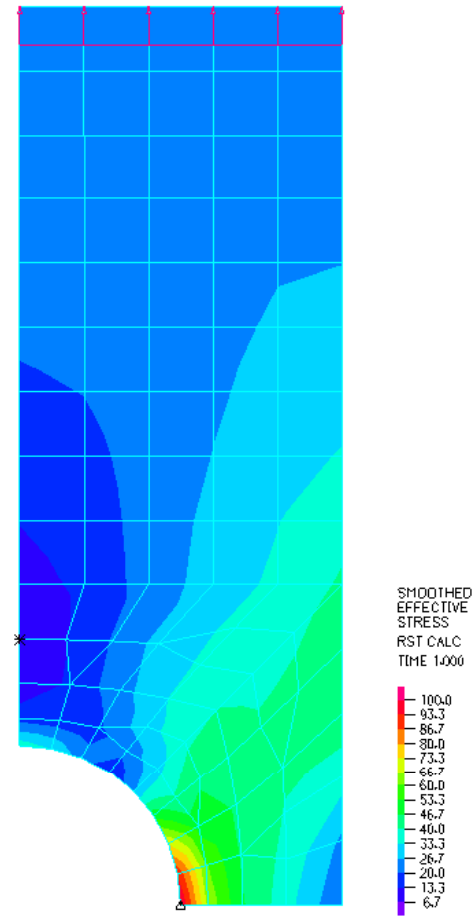
- Liefert in der Praxis oftmals sehr gute Ergebnisse, allerdings nur Verbesserung in den Spannungen möglich, nicht aber in Verschiebungen
- Leicht zu Implementieren in FE-Software
- Mathematische Begründung oftmals kompliziert oder nicht möglich

# Beispiele zur Mittelwertbildung

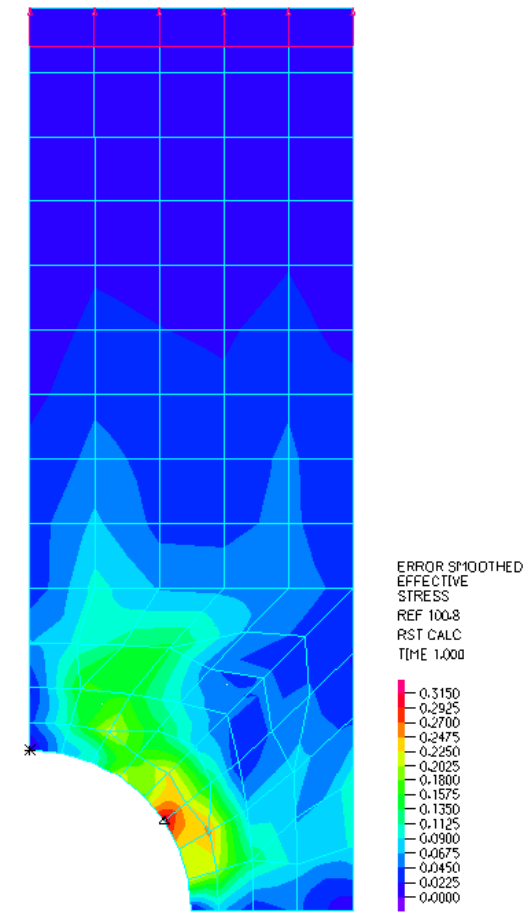
FE-Spannungen:



gemittelte FE-Spann.:



Differenzspannungen:

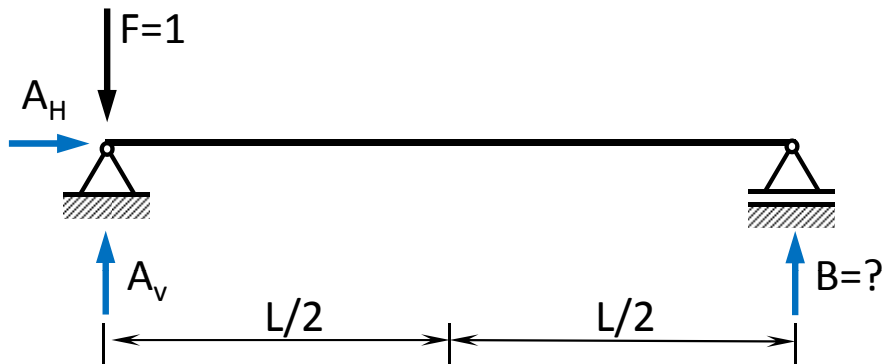
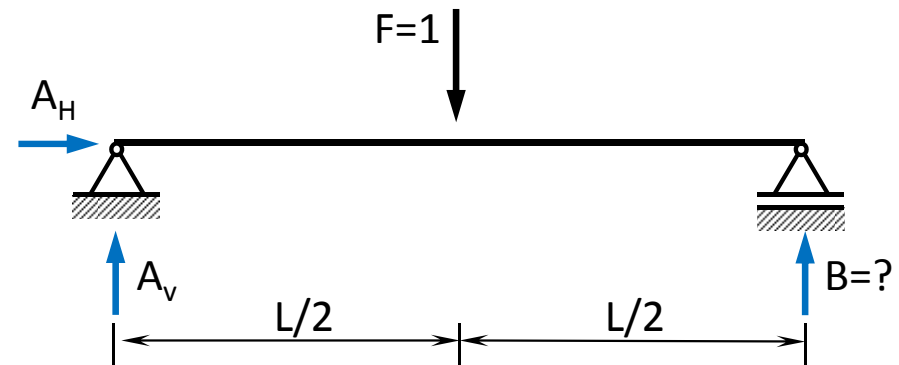
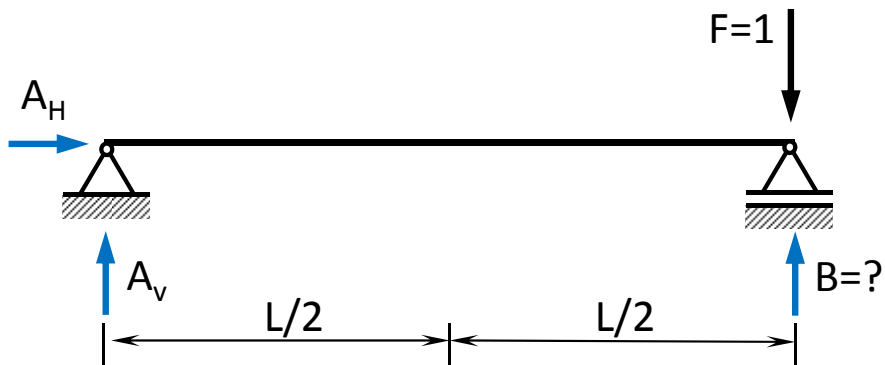


# Genauigkeit beliebiger Zielgrößen

- Die bisherigen Überlegungen gehen davon aus, den Fehler in der Energienorm, d.h. bezüglich eines globalen Fehlermaß, zu verbessern
- Der Fehler in der Energienorm sagt jedoch nichts über den lokalen Fehler, z.B. für die Verschiebung oder die Spannung, an einer bestimmten Stelle der Struktur aus
- In jüngerer Zeit gibt es daher ein neues Fehlerkonzept, welches die Genauigkeit einer beliebigen (lokalen) Zielgröße erhöht
- Mathematischer Hintergrund dieses neuen Konzepts ist das altbewährte Konzept der Einflussfunktionen (siehe folgende Folien)

# Einflussfunktionen in der Statik

Ein Gedankenexperiment:



Berechne die Lagerkraft B in  
Abhängigkeit der Position von F

# Einflussfunktionen in der Statik

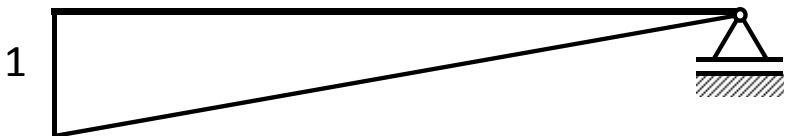
Frage: Gibt es eine Funktion, welche die Größe von B in Abhängigkeit der Position von F darstellt?

⇒ Dies ist die sogenannte Einflussfunktion

Einflussfunktion für die Lagerkraft B:



Einflussfunktion für die Lagerkraft  $A_v$ :





# Einflussfunktionen in der Statik

## Konstruktionsvorschrift für Einflussfunktionen für Lagerkräfte:

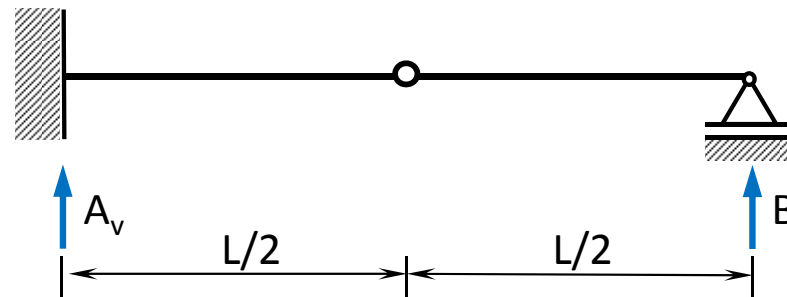
Die Einflussfunktion einer Lagerkraft entspricht der Verformungsfigur, die entsteht, wenn die zugehörige Lagerfessel entfernt wird und eine zur Lagerkraft entgegengesetzte Verschiebung von Eins aufgebracht wird

- Bei statisch bestimmten Tragwerken entsteht eine stückweise kinematische Kette
- Bei statisch unbestimmten Tragwerken entsteht eine Biegelinie, die aus gegebenen Randbedingungen berechnet werden kann

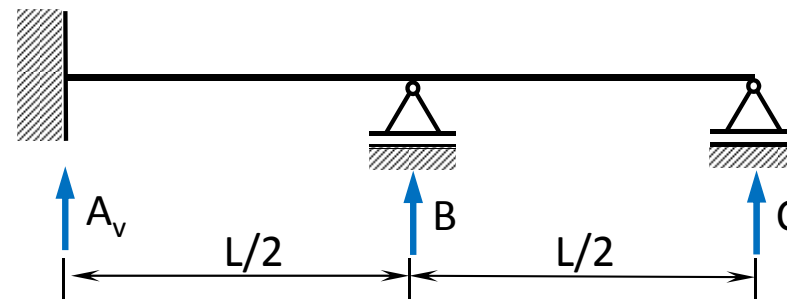
# Einflussfunktionen in der Statik

Übungsaufgaben:

Zeichnen Sie  $EL-A_v$  und  $EL-B$  für das folgende Tragwerk:



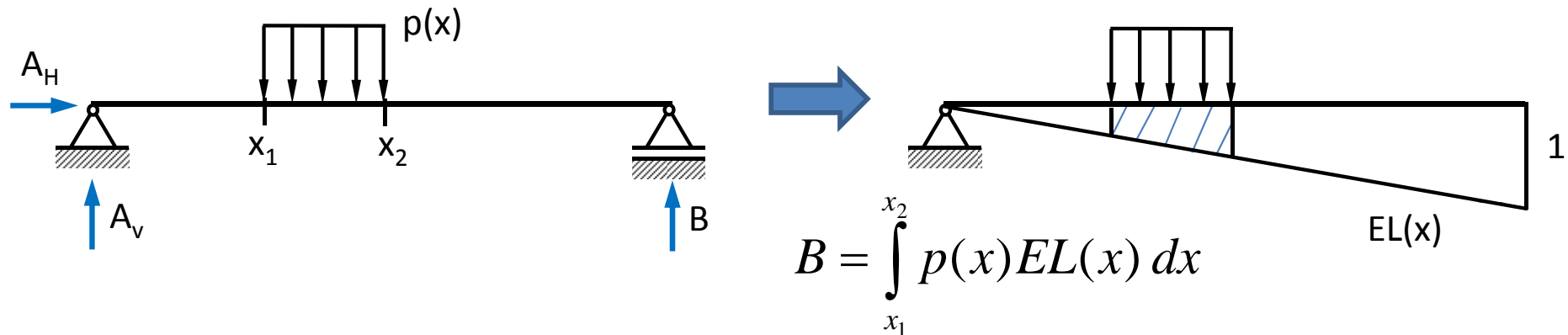
Skizzieren Sie  $EL-B$  und  $EL-C$  für das folgende Tragwerk:



# Einflussfunktionen in der Statik

## Anmerkungen:

- Große praktische Bedeutung haben Einflussfunktionen bei der statischen Analyse von bewegenden Lasten („Wanderlasten“), wie z.B. im Brücken- oder Kranbau
- Einflussfunktionen können auch bei Linienlasten verwendet werden, in dem Fall ist über die Breite der Linienlast zu integrieren:



# Einflussfunktionen in der Statik

## Konstruktionsvorschrift für Einflussfunktionen beliebiger Größen:

EL für Verschiebungen:

- Die Einflussfunktion entspricht der Biegelinie  $w(x)$ , wenn eine Belastung von  $F=1$  in Richtung der gesuchten Verschiebung aufgebracht wird

EL für Spannungen:

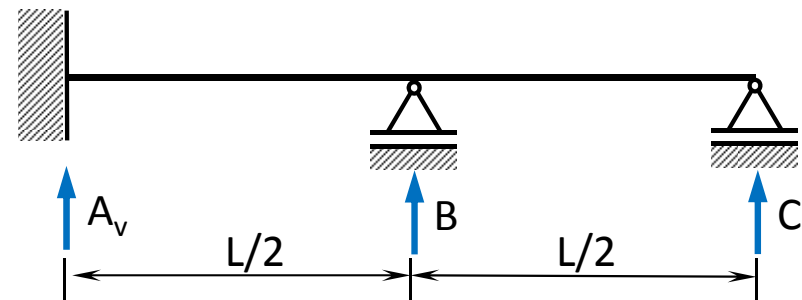
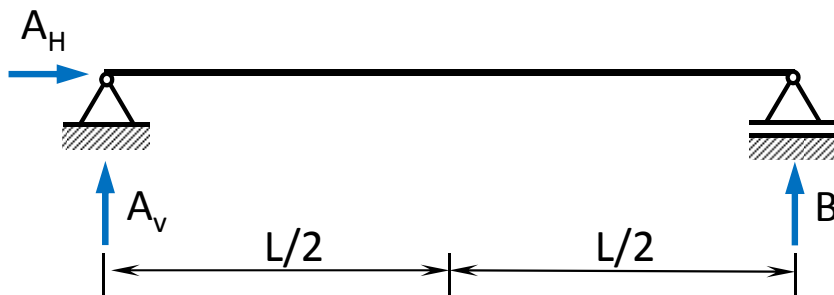
- Die Einflussfunktion entspricht der Biegelinie  $w(x)$  (bzw. der kinematischen Kette bei statisch bestimmten Systemen), wenn ein zur Spannung konjugiertes Gelenk eingebaut und an dieser Stelle eine Gelenkspreizung von Eins aufgebracht wird

# Einflussfunktionen in der Statik

Beispiele:

Gesucht ist jeweils die EL an den Stellen  $x = L/4$ ,  $x = L/2$  und  $x = L3/4$

- für die Verschiebung
- für die Querkraft und das Biegemoment



⇒ Lösung an der Tafel

# Berechnung von Einflussfunktionen mit der FEM

Wir verwenden die mathematische Notation aus Kap. 2, S. 9-15

Das (primale) FE-Problem lautet

$$a(u_h, v_h) = p(v_h)$$

Es bezeichnen nun  $z$  die Einflussfunktion und  $Q(u)$  die Zielgröße („Q=Quantity“)

Das (duale) FE-Problem zur Berechnung von  $z_h$  lautet

$$a(z_h, v_h) = Q(v_h)$$

Trick (von Tottenham 1970, wiederentdeckt erst Ende der 90'er): Setze  $v_h = u_h$

$$p(z_h) = a(u_h, z_h) = a(z_h, u_h) = Q(u_h)$$

# Berechnung von Einflussfunktionen mit der FEM

Somit ergibt sich:

$$Q(u_h) = p(z_h) = \int p \cdot z_h \, dx$$

Interpretation:

- Jede (lokale) Zielgröße der FE-Lösung  $Q(u_h)$  kann alternativ aus der auf dem selben Netz ermittelten Einflussfunktionen  $z_h$  berechnet werden
- Die Genauigkeit jeder Zielgröße ist damit direkt mit der Genauigkeit der auf dem selben Netz darstellbaren Einflussfunktion verknüpft
- Selbst wenn die Einflussfunktion niemals ausgerechnet wird, besteht dieser innere fundamentale Zusammenhang zwischen  $Q(u_h)$  und  $z_h$

# Einige Thesen

- Verschiebungen sind in der Regel genauer als Spannungen, weil ...
- Lagerkräfte sind in der Regel genauer als Spannungen, weil ...
- Integrale Spannungen bzw. Spannungsergebnisse sind in der Regel genauer als jeder Punktwert einer Spannung, weil ...

... die zugehörige Einflussfunktion genauer dargestellt werden kann und bereits auf einem recht groben Netz ausreichend genau ist!



# Beispiele zu Einflussfunktionen

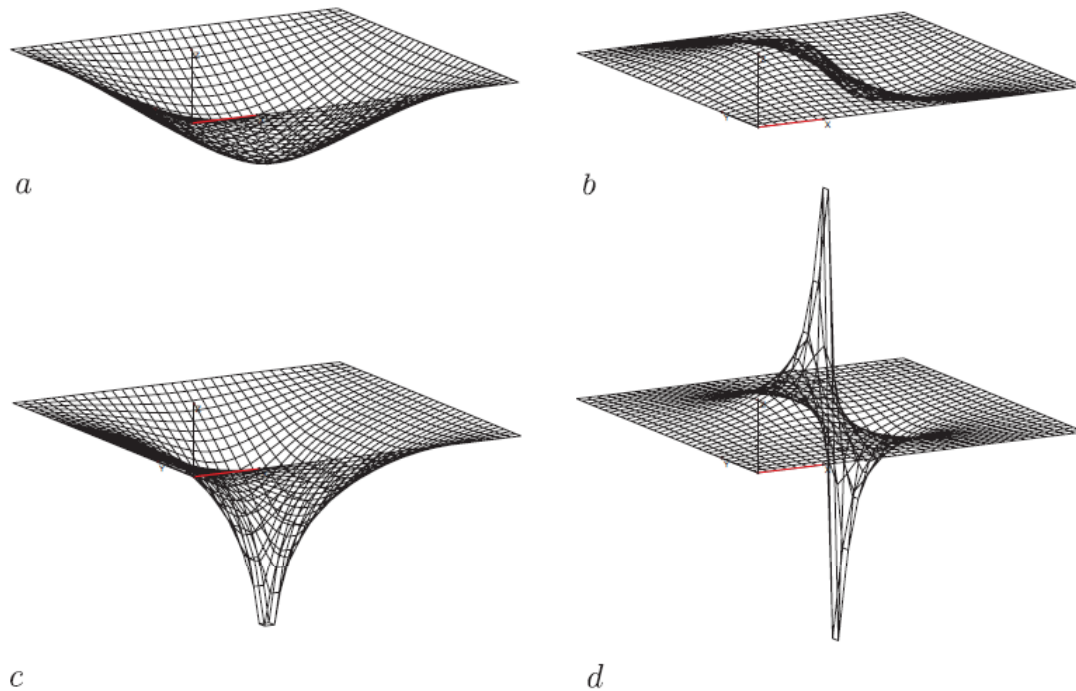


Fig. 1.51. Influence functions for a) the deflection  $w$ , b) the slope  $w_x$ , c) the bending moment  $m_{xx}$ , and d) the shear force  $q_x$  at the center of the slab

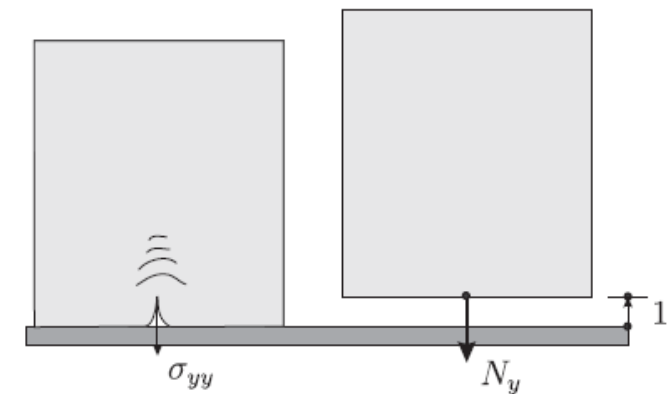
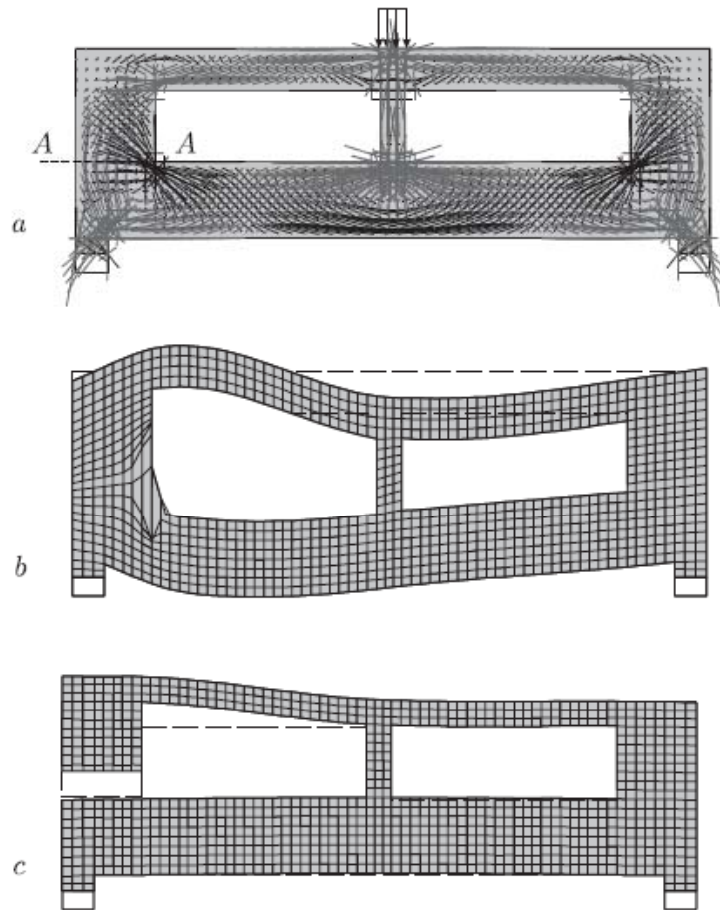


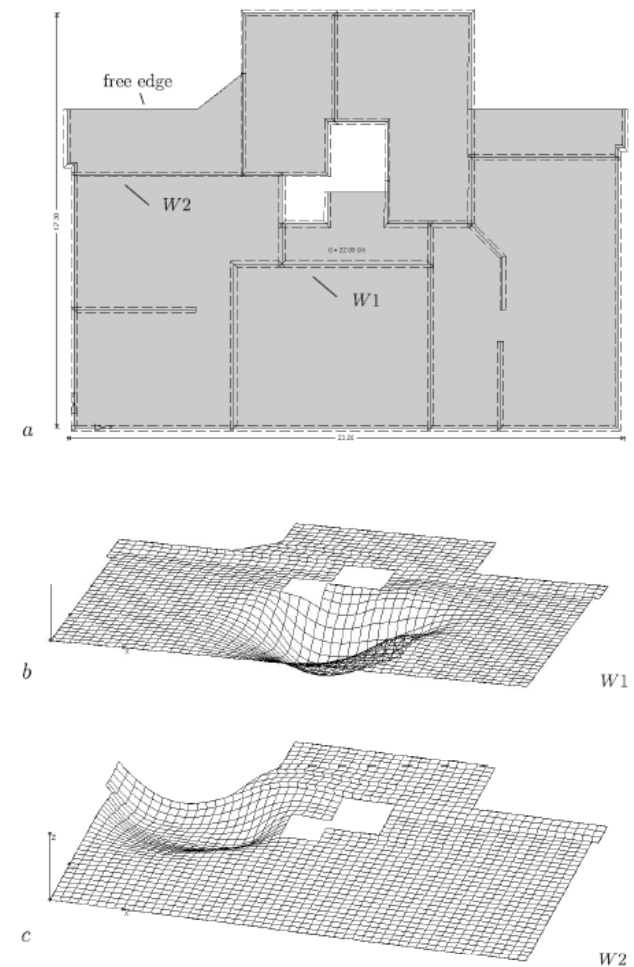
Fig. 1.54. Influence function for  $\sigma_{yy}$  and  $N_y$

Beispiele auf S. 33-34, 36 aus Hartmann F, Katz C: Structural Analysis with Finite Elements, Springer, 2006

# Beispiele zu Einflussfunktionen



**Fig. 1.53.** Plate: a) system and loading; b) influence function for the stress  $\sigma_{yy}$  near the corner point; c) influence functions for the internal action  $N_y$  in cross-section A-A



**Fig. 1.67.** Slab: a) plan view; b) influence function for the sum of the support reactions in wall W1; c) in wall W2

# Fehleranalysis mit Einflussfunktionen

Startpunkt ist das duale Problem

$$Q(v) = a(z, v)$$

Setze  $v = e := u - u_h$

$$Q(e) = a(z, u - u_h)$$

Erweiterung um die sog. Galerkin-Orthogonalität (Kap.2, S.18) liefert:

$$\begin{aligned} Q(e) &= a(z - z_h, u - u_h) \\ &\leq \|z - z_h\|_E \|u - u_h\|_E \end{aligned}$$

⇒ Der Fehler einer beliebigen Zielgröße kann aus dem Fehler in der Energienorm des dualen und des primalen Problems berechnet werden

Praxis: Verfeinere dort, wo der Fehler in der Einflussfunktion groß ist

# Beispiele zu goal-oriented refinement

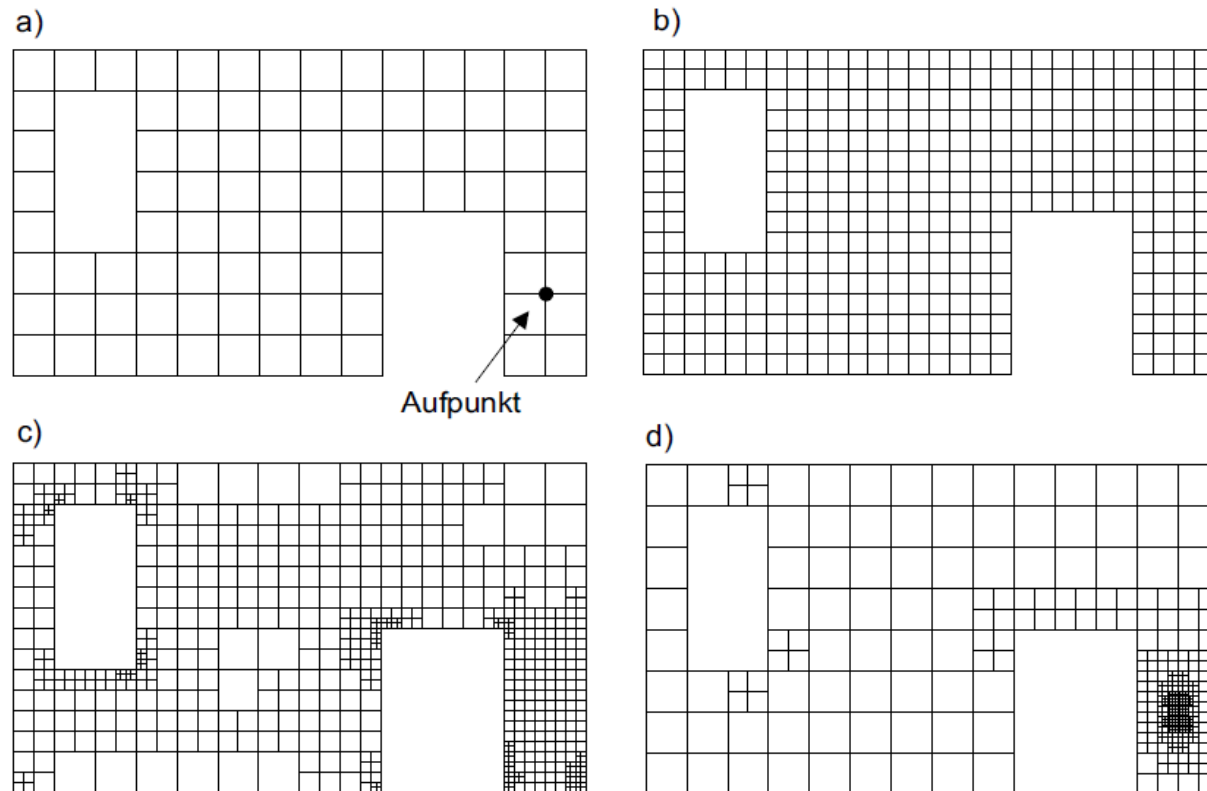


Abb. 5.20: Wandscheibe unter Windbelastung: a) Startnetz, b) gleichmäßige Verfeinerung, c) Fehlerschätzung in der Energienorm, d) lokale Fehlerschätzung

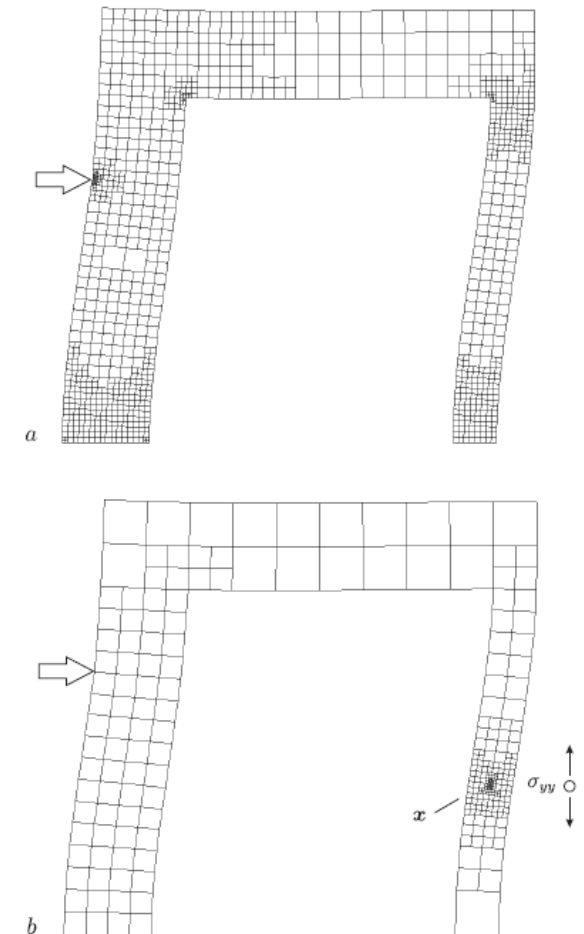


Fig. 1.107. Adaptive refinement a) standard refinement  $\eta_p \leq \varepsilon_{TOL}$  b) goal oriented refinement  $\eta_p \times \eta_G \leq \varepsilon_{TOL}$

# Verifizierung vs. Validierung

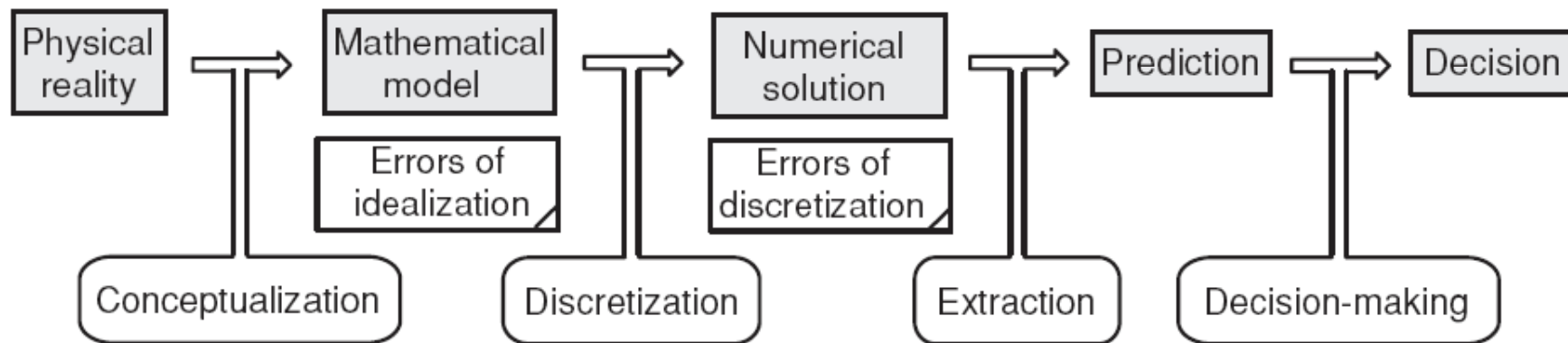
- Als Verifizierung bezeichnet man den Prozess der Minimierung des numerischen Fehlers durch h- oder p-Adaption

„Are the equations solved correctly?“

- Als Validierung bezeichnet man die Überprüfung, ob überhaupt das richtige mathematische Modell gewählt wurde

„Are the right equations solved?“

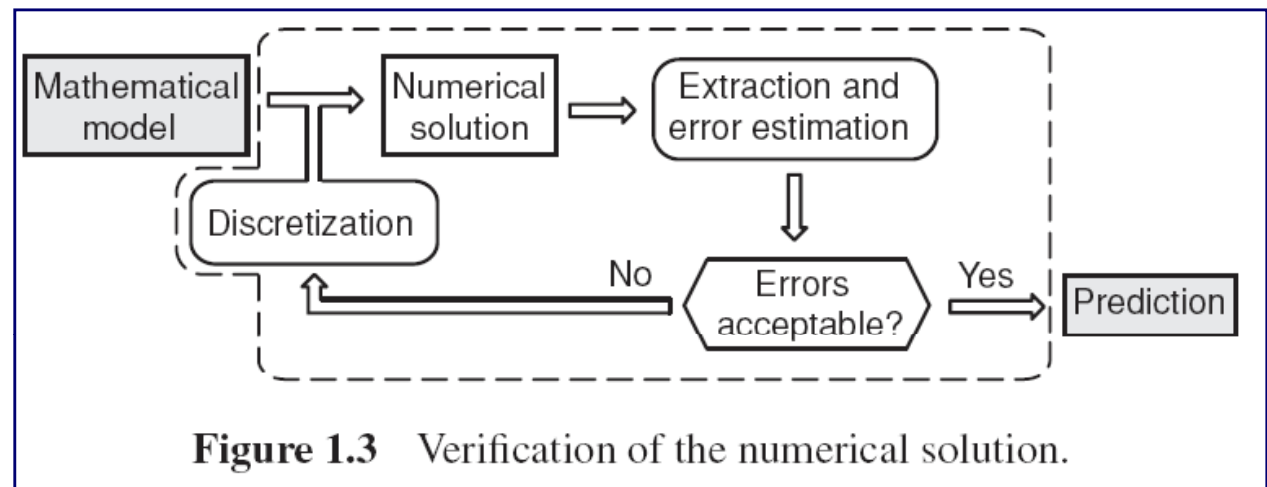
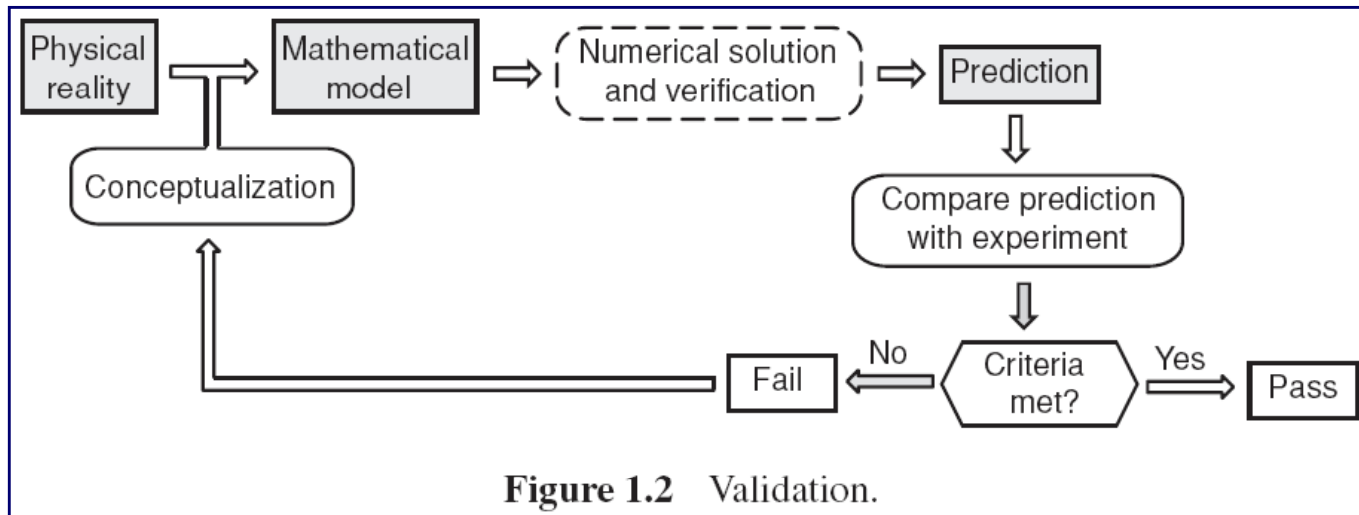
# Verifizierung vs. Validierung



**Figure 1.1** The main elements of numerical simulation and the associated errors.

Abbildungen auf S. 38/39 aus Babuska I, Szabo B: Introduction to Finite Element Analysis, Wiley, 2011

# Verifizierung vs. Validierung



# Spannungsnachweis vs. numerischer Fehler

Es bezeichne

$S$  Sicherheitsbeiwert

$S_{\text{erf}}$  erforderlicher Sicherheitsbeiwert

$\sigma_{\text{zul}}$  zulässige Spannung (meist aus Versuchen ermittelt)

$\sigma$  analytische Spannung

$\sigma_{\text{FE}}$  FE-Spannung

Spannungsnachweis: 
$$S := \frac{\sigma_{\text{zul}}}{\sigma} \geq S_{\text{erf}}$$



# Spannungsnachweis vs. numerischer Fehler

Annahme: Der numerische Fehler liegt zwischen 0 und 100%:

$$\frac{|\sigma - \sigma_{FE}|}{\sigma} \leq \tau \quad \text{mit } 0 \leq \tau < 1$$

Umstellen der Formel ergibt:

$$\sigma \leq \frac{1}{1 - \tau} \sigma_{FE}$$

Einsetzen in Formel S.41 ergibt:

$$\frac{\sigma_{zul}}{\sigma_{FE}} \geq \frac{S_{erf}}{1 - \tau}$$

⇒ Beträgt der numerische Fehler z.B.  $\tau = 0,2$  (20%) ist die Sicherheit um den Faktor  $1/0,8 = 1,25$  (25%) zu erhöhen!